

# 1<sup>er</sup> ordre et oscillateurs en RSF

## Sommaire

<b>I</b> Introduction au filtrage . . . . .	<b>2</b>
<b>II</b> Filtres RC . . . . .	<b>4</b>
II/A Filtre RC sur C : passe-bas ordre 1 . . . . .	4
II/B Filtre RC sur R : passe-haut ordre 1 . . . . .	5
<b>III</b> Résonance en tension, en élongation . . . . .	<b>6</b>
III/A Filtre RLC sur C : passe-bas d'ordre 2 . . . . .	7
III/B Exemple mécanique : résonance en élongation . . . . .	9
<b>IV</b> Résonance en intensité, en vitesse . . . . .	<b>10</b>
IV/A Filtre RLC sur R : passe-bande d'ordre 2 . . . . .	10
IV/B Résonance en vitesse . . . . .	13

## ✖ Capacités exigibles

- Oscillateur électrique ou mécanique soumis à une excitation sinusoïdale.
- Relier l'acuité d'une résonance au facteur de qualité.
- Choisir un modèle de filtre en fonction d'un cahier des charges.
- Utiliser une fonction de transfert donnée d'ordre 1 ou 2 (ou ses représentations graphiques) pour étudier la réponse d'un système linéaire à une excitation sinusoïdale.
- Déterminer la pulsation propre et le facteur de qualité à partir de graphes expérimentaux d'amplitude et de phase.

## ✓ L'essentiel

### ❖ Propriétés

<input type="checkbox"/> E7.1 : Filtre RC sur C . . . . .	4
<input type="checkbox"/> E7.2 : Bande passante RC sur C . . . . .	5
<input type="checkbox"/> E7.3 : Filtre RC sur R . . . . .	6
<input type="checkbox"/> E7.4 : Bande passante RC sur R . . . . .	6
<input type="checkbox"/> E7.5 : Filtre RLC sur C . . . . .	8
<input type="checkbox"/> E7.6 : Résonance en tension RLC sur C . . . . .	9
<input type="checkbox"/> E7.7 : Filtre RLC sur R . . . . .	11
<input type="checkbox"/> E7.8 : Résonance en intensité RLC sur R . . . . .	12
<input type="checkbox"/> E7.9 : Bande passante en intensité . . . . .	13

### ≡ Définitions

<input type="checkbox"/> E7.1 : Filtre et fonction de transfert . . . . .	3
<input type="checkbox"/> E7.2 : Bande passante . . . . .	5
<input type="checkbox"/> E7.3 : Résonance . . . . .	7
<input type="checkbox"/> E7.4 : RLC série sur C en RSF . . . . .	7
<input type="checkbox"/> E7.5 : Ressort amorti en RSF . . . . .	9
<input type="checkbox"/> E7.6 : RLC série sur R en RSF . . . . .	10

### » Implications

<input type="checkbox"/> E7.1 : Résonance en élongation . . . . .	10
<input type="checkbox"/> E7.2 : Résonance en vitesse . . . . .	13

### ↗ Exemples

<input type="checkbox"/> E7.1 : Rappels du TP07 . . . . .	2
<input type="checkbox"/> E7.2 : Filtre RC . . . . .	3
<input type="checkbox"/> E7.3 : $u_R(t)$ du RC . . . . .	6
<input type="checkbox"/> E7.4 : Résonances . . . . .	6

### 🔧 Outils

<input type="checkbox"/> E7.1 : Circuits en RSF . . . . .	3
---	---

### ❤ Points importants

<input type="checkbox"/> E7.1 : Analyse réponse de $u_C(t)$ . . . . .	2
<input type="checkbox"/> E7.2 : À retenir pour $\underline{U}_C$ RLC série . . . . .	9
<input type="checkbox"/> E7.3 : À retenir pour $\underline{I}$ RLC série . . . . .	12
<input type="checkbox"/> E7.4 : Synthèse résonances . . . . .	14

### 📝 Applications

<input type="checkbox"/> E7.1 : Amplitude complexe $X$ . . . . .	10
<input type="checkbox"/> E7.2 : Amplitude complexe $V$ . . . . .	13

## I Introduction au filtrage

### Exemple E7.1 : Rappels du TP07

Avant de savoir résoudre analytiquement l'équation différentielle sur  $u_C$  du circuit RC soumis à  $e(t) = E_0 \cos(\omega t)$ , on a étudié sa réponse à une tension créneau, succession d'échelons montants et descendants, puis à une tension sinusoïdale. On avait observé les réponses suivantes :

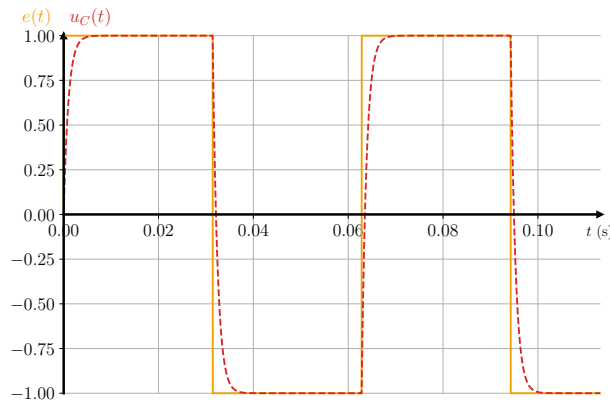


FIGURE E7.1 –  $u_C(t)$  du RC créneau pour  $\omega \ll \frac{1}{\tau}$

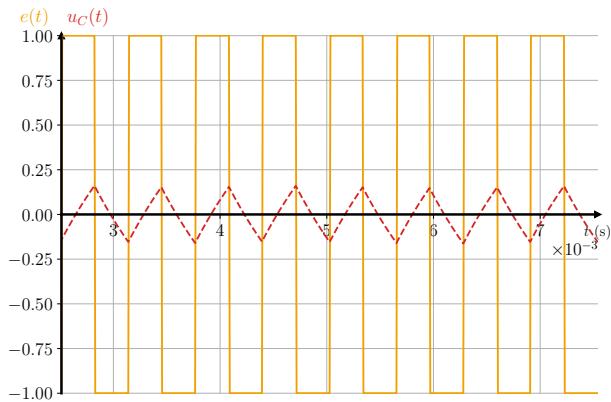
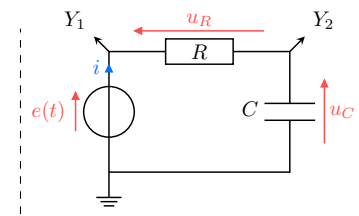


FIGURE E7.2 –  $u_C(t)$  du RC créneau pour  $\omega \gg \frac{1}{\tau}$

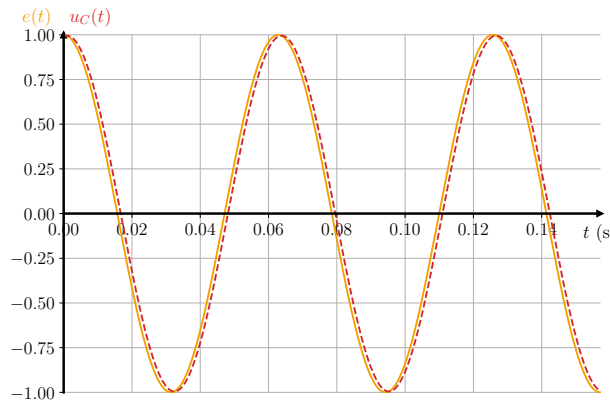


FIGURE E7.3 –  $u_C(t)$  du RC sinusoïdal pour  $\omega \ll \frac{1}{\tau}$

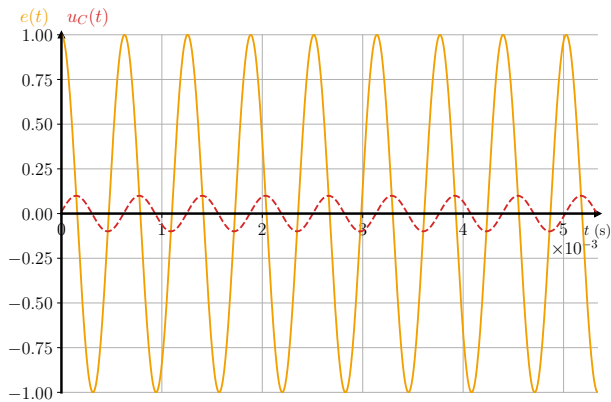


FIGURE E7.4 –  $u_C(t)$  du RC sinusoïdal pour  $\omega \gg \frac{1}{\tau}$

### Observation E7.1 : Résultats observés

#### ◊ Tension créneau :

- ▷ Basses fréquences :  $u_C(t)$  arrive à suivre le rythme de la tension d'entrée ;
- ▷ Hautes fréquences :  $u_C(t)$  est quasi nulle, le condensateur n'a pas le temps de se charger ou se décharger.

#### ◊ Tension sinusoïdale :

- ▷ Basses fréquences :  $u_C(t)$  suit la tension d'entrée en amplitude mais avec un léger déphasage.
- ▷ Hautes fréquences :  $u_C(t)$  est de faible amplitude et fortement déphasée par rapport à l'entrée.

Voir aussi [cette animation](#).

### Important E7.1 : Analyse réponse de $u_C(t)$

On a bien  $u_C(t)$  qui oscille à la même pulsation que  $e(t)$ , mais avec une amplitude et une phase qui dépendent de la pulsation  $\omega$ .

Plus précisément, dans le cas du circuit RC, on trouve que les signaux basses fréquences ( $\omega \ll \frac{1}{\tau}$ ) sont intégralement transmis ( $u_C(t) \approx e(t)$ ), tandis que les signaux hautes fréquences ( $\omega \gg \frac{1}{\tau}$ ) sont intégralement coupés ( $u_C(t) \approx 0$ ) : on dit qu'il filtre les fréquences, et en l'occurrence que c'est un filtre passe-bas.

### ♥ Définition E7.1 : Filtre et fonction de transfert

#### Définition et types

Système qui **traite un signal** sur un **critère fréquentiel**. On le représente par un **quadripôle** dans les schémas électriques, avec  $e(t)$  l'entrée et  $s(t)$  la sortie. On en distingue 3 types principaux :

- ◊ **Passe-bas** : ne laisse passer que les basses fréquences ;
- ◊ **Passe-haut** : ne laisse passer que les hautes fréquences ;
- ◊ **Passe-bande** : ne laisse passer qu'une bande de fréquences.

Il est dit **linéaire** si la sortie est de même fréquence que l'entrée.

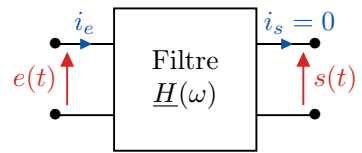


FIGURE E7.5 – Filtre.

#### Fonction de transfert

Son action est de passer de  $E$  l'amplitude complexe d'un signal d'entrée à  $S$  celle d'un signal de sortie associé. Elle est caractérisée par sa **fonction de transfert**  $\underline{H}(\omega)$  :

$$\begin{aligned} \underline{H}(\omega) &= \frac{S(\omega)}{E} \Leftrightarrow S(\omega) = \underline{H}(\omega)E \\ \Leftrightarrow \begin{cases} |S(\omega)| = |\underline{H}(\omega)E| \\ \arg(S(\omega)) = \arg(\underline{H}(\omega)E) \end{cases} &\Leftrightarrow \begin{cases} S(\omega) = E \cdot |\underline{H}(\omega)| = E \cdot G(\omega) \\ \varphi_s(\omega) = \varphi_e + \arg(\underline{H}(\omega)) = \varphi_e + \Delta\varphi_{s/e}(\omega) \end{cases} \end{aligned}$$

#### Gain

Le **gain** traduit l'effet du filtre sur l'**amplitude réelle** d'un signal ; on a

$$G(\omega) = |\underline{H}(\omega)| = \frac{S(\omega)}{E} \quad \text{Unité} \quad \text{aucune}$$

- ◊  $G(\omega) = 1 \Leftrightarrow S(\omega) = E$  : composante de sortie **conservée** à cette fréquence.
- ◊  $G(\omega) > 1 \Leftrightarrow S(\omega) > E$  : composante de sortie **amplifiée** à cette fréquence.
- ◊  $G(\omega) < 1 \Leftrightarrow S(\omega) < E$  : composante de sortie **atténuée** à cette fréquence.

### Exemple E7.2 : Filtre RC

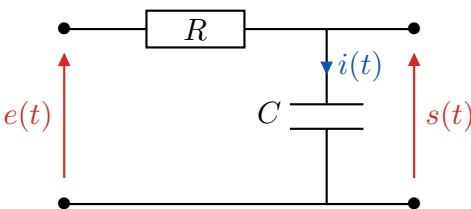


FIGURE E7.6 – Filtre RC à vide

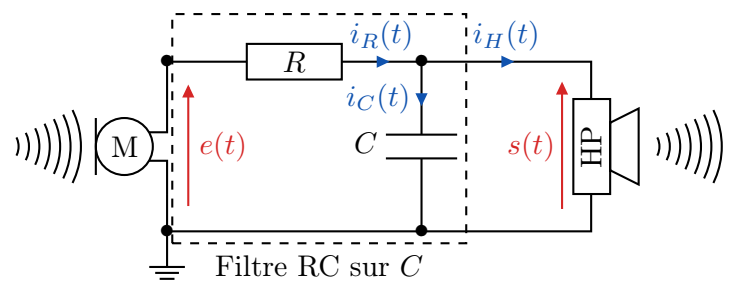


FIGURE E7.7 – Filtre RC sur micro

### ♥ Outils E7.1 : Circuits en RSF

- ◊ On remplace  $e(t)$ , tous les  $u(t)$  et  $i(t)$  par leurs amplitudes complexes ;
- ◊ On remplace les dipôles par leurs impédances ;
- ◊ On simplifie le circuit avec des associations d'impédances (série ou parallèle) ;
- ▷ **Attention** : Après une association en série, la **tension de la somme a changé** !
- ◊ On applique les ponts diviseurs de tension ou de courant pour exprimer la grandeur d'intérêt, éventuellement en cascade ;
- ◊ On se ramène dans le domaine réel en prenant le module et l'argument des amplitudes complexes obtenues.

## II Filtres RC

### II/A Filtre RC sur C : passe-bas ordre 1

#### ♥ Démonstration E7.1 : Filtre RC sur C

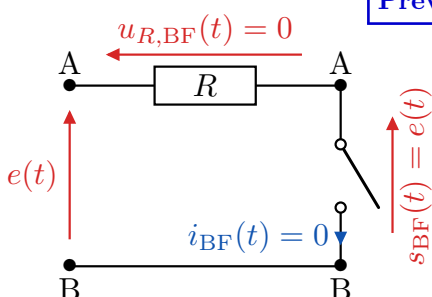


FIGURE E7.8 – RC sur C en BF.

Ainsi  $\underline{H}(0) = 1 \Rightarrow \begin{cases} G(0) = 1 \\ \Delta\varphi_{s/e}(0) = 0 \end{cases}$

#### Prévision du comportement

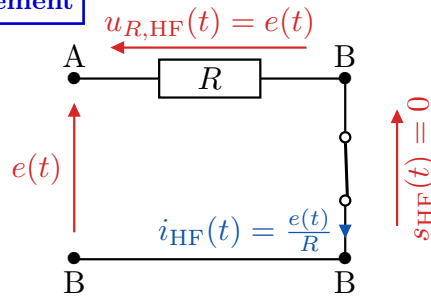


FIGURE E7.9 – RC sur C en HF.

Ainsi  $\underline{H}(\omega) \xrightarrow{\omega \rightarrow \infty} 0 \Rightarrow \begin{cases} G(\omega) \xrightarrow{\omega \rightarrow \infty} 0 \\ \Delta\varphi_{s/e}(\omega) \xrightarrow{\omega \rightarrow \infty} ? \end{cases}$

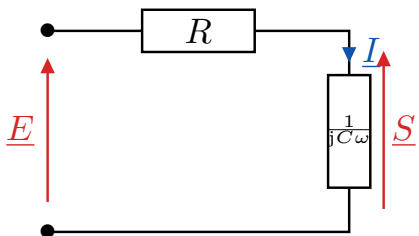


FIGURE E7.10 – RC sur C en C.

#### Fonction de transfert

$$\begin{aligned} \underline{S}(\omega) &= \frac{Z_C}{R + Z_C} \underline{E} \\ \Leftrightarrow \underline{S}(\omega) &= \frac{1}{1 + jRC\omega} \underline{E} \\ \Leftrightarrow \underline{H}(\omega) &= \frac{1}{1 + jRC\omega} = \frac{1}{1 + j\frac{\omega}{\omega_c}} \\ \Leftrightarrow \underline{H}(x) &= \frac{1}{1 + jx} \end{aligned}$$

#### Module

$$G(x) = |\underline{H}(x)| = \frac{1}{|1 + jx|} = \frac{1}{\sqrt{1 + x^2}}$$

■

$$\arg(\underline{H}(x)) = -\arg(1 + jx) = -\arctan(x) \quad \text{Re} \geq 0$$

#### Argument

#### Propriété E7.1 : Filtre RC sur C

Le filtre RC sur C est un passe-bas d'ordre 1, dont la fonction de transfert s'écrit

$$\underline{H}(x) = \frac{H_0}{1 + jx} \quad \text{avec} \quad H_0 = 1 \quad \text{et} \quad x = \frac{\omega}{\omega_c} \quad \text{où} \quad \omega_c = \frac{1}{RC} \quad \Leftrightarrow \quad \begin{cases} G(x) = \frac{H_0}{\sqrt{1 + x^2}} \\ \arg(\underline{H}(x)) = \Delta\varphi_{s/e} = -\arctan(x) \end{cases}$$

tel que  $e(t) = E_0 \cos(\omega t + \varphi_e) \Rightarrow u_C(t) = U_C \cos(\omega t + \varphi_u)$

$$\text{avec} \quad \begin{cases} U_C(x) = E_0 \cdot \frac{H_0}{\sqrt{1 + x^2}} \\ \varphi_u(x) = \varphi_e - \arctan(x) \end{cases}$$

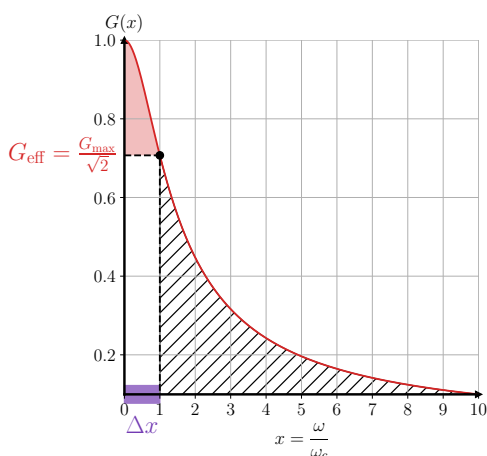


FIGURE E7.11 – Gain G(x) du RC sur C

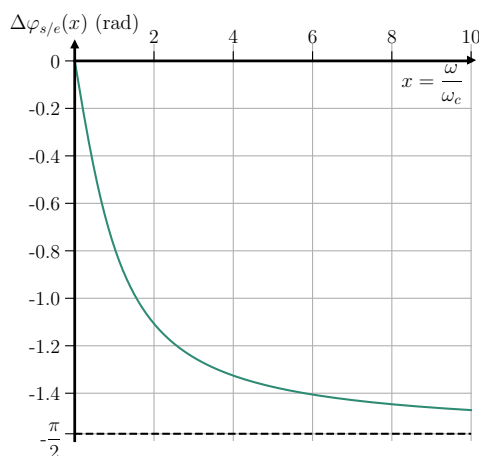


FIGURE E7.12 – Déphasage \Delta\varphi\_{s/e}(x) du RC sur C

### ♥ Définition E7.2 : Bande passante

On appelle **bande passante** la plage de fréquences pour laquelle le gain est **supérieur au gain efficace** :

$$\text{bande passante} \triangleq [\omega_1; \omega_2] : G(\omega) \geq G_{\text{eff}} = \frac{G_{\text{max}}}{\sqrt{2}}$$

◊  $\omega_1$  et  $\omega_2$  sont les **pulsations de coupures**, telles que

$$G(\omega_{1,2}) = G_{\text{eff}}$$

◊ Sa **largeur** est la **différence** entre ces valeurs :

$$\Delta\omega = |\omega_2 - \omega_1|$$

◊ Son **acuité** représente sa **sélectivité** :

$$A_c = \frac{\omega_{\text{max}}}{\Delta\omega}$$

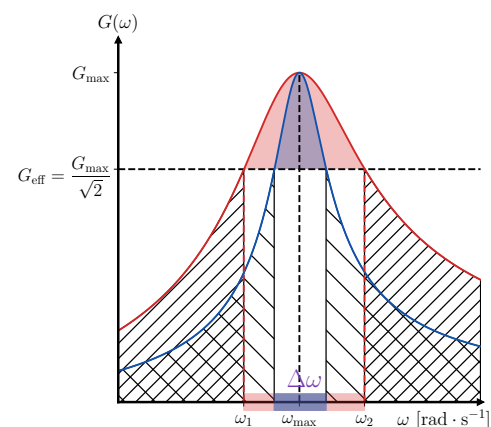


FIGURE E7.13 – Bande passante.

### Propriété E7.2 : BP de RC sur C

La bande passante du filtre RC sur C est

$$[0, \omega_c] \Rightarrow \Delta\omega = \omega_c$$

### ♥ Démonstration E7.2 : BP de RC sur C

$$\begin{aligned} G(x) &= \frac{H_0}{\sqrt{1+x^2}} \geq G_{\text{eff}} \Leftrightarrow \frac{H_0}{\sqrt{1+x^2}} \geq \frac{H_0}{\sqrt{2}} \\ &\Leftrightarrow x \leq 1 \Leftrightarrow \boxed{\omega \leq \omega_c} \end{aligned}$$

## II/B Filtre RC sur R : passe-haut ordre 1

### ♥ Démonstration E7.3 : Filtre RC sur R

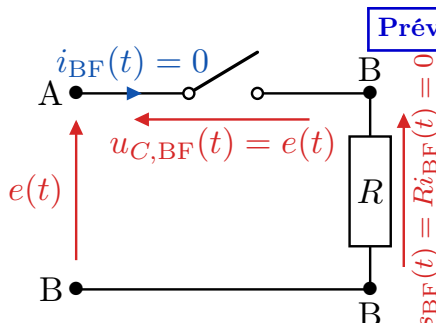


FIGURE E7.14 – RC sur R en BF

Ainsi  $\underline{H}(0) = 0 \Rightarrow \begin{cases} G(0) = 0 \\ \Delta\varphi_{s/e}(0) = ? \end{cases}$

### Prévision du comportement

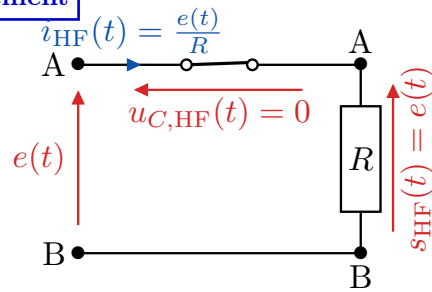


FIGURE E7.15 – RC sur R en HF

Ainsi  $\underline{H}(\omega) \xrightarrow{\omega \rightarrow \infty} 1 \Rightarrow \begin{cases} G(\omega) \xrightarrow{\omega \rightarrow \infty} 1 \\ \Delta\varphi_{s/e}(\omega) \xrightarrow{\omega \rightarrow \infty} 0 \end{cases}$

### Fonction de transfert

$$\begin{aligned} \underline{S}(\omega) &= \frac{R}{R + 1/jC\omega} E \\ \Leftrightarrow \underline{S}(\omega) &= \frac{jRC\omega}{1 + jRC\omega} E \\ \Leftrightarrow \underline{H}(\omega) &= \frac{jRC\omega}{1 + jRC\omega} = \frac{j\frac{\omega}{\omega_c}}{1 + j\frac{\omega}{\omega_c}} \\ \Leftrightarrow \underline{H}(x) &= \frac{jx}{1 + jx} \end{aligned}$$

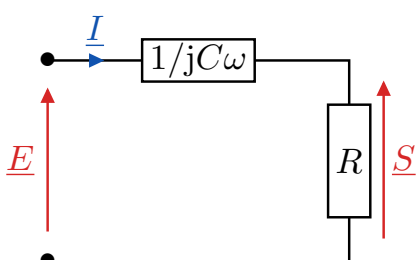


FIGURE E7.16 – RC sur R en C.

### Module

$$G(x) = |\underline{H}(x)| = \frac{|jx|}{|1 + jx|} = \frac{x}{\sqrt{1 + x^2}}$$

■

$$\arg(\underline{H}(x)) = \arg(jx) - \arg(1 + jx) = \frac{\pi}{2} - \arctan(x)$$

### Argument

### Propriété E7.3 : Filtre RC sur R

Le filtre RC sur R est un **passe-haut** d'ordre 1, dont la fonction de transfert s'écrit

$$H(x) = H_0 \frac{1}{1 + jx} \quad \text{avec} \quad H_0 = 1 \quad \text{et} \quad x = \frac{\omega}{\omega_c} \quad \text{où} \quad \omega_c = \frac{1}{RC} \quad \Leftrightarrow \quad \begin{cases} G(x) = H_0 \frac{x}{\sqrt{1 + x^2}} \\ \Delta\varphi_{s/e}(x) = \frac{\pi}{2} - \arctan(x) \end{cases}$$

tel que  $e(t) = E_0 \cos(\omega t + \varphi_e) \Rightarrow u_R(t) = U_R \cos(\omega t + \varphi_u)$  avec  $\begin{cases} U_R(x) = E_0 \cdot H_0 \frac{x}{\sqrt{1 + x^2}} \\ \varphi_u(x) = \varphi_e + \frac{\pi}{2} - \arctan(x) \end{cases}$

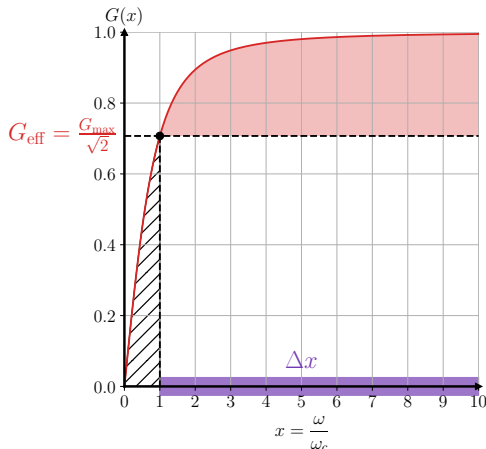


FIGURE E7.17 – Gain  $G(x)$  du RC sur R

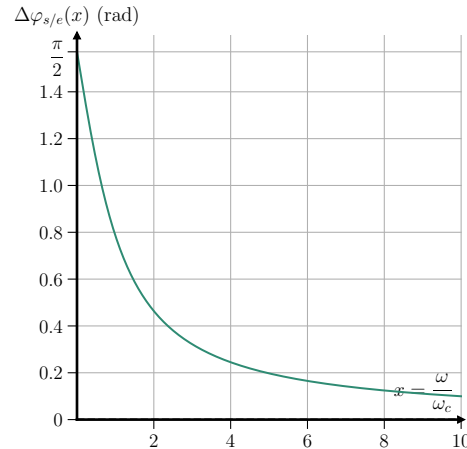


FIGURE E7.18 – Déphasage  $\Delta\varphi_{s/e}(x)$  du RC sur R

### Exemple E7.3 : $u_R(t)$ du RC

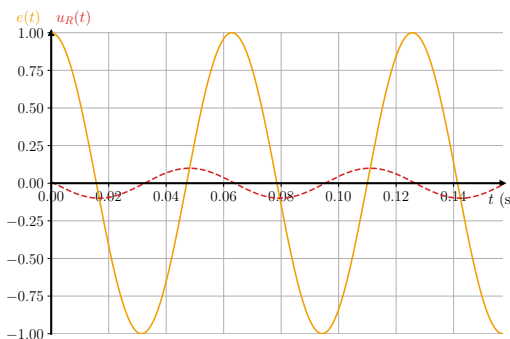


FIGURE E7.19 –  $u_R(t)$  du RC sinusoïdal pour  $\omega \ll \omega_c$



FIGURE E7.20 –  $u_R(t)$  du RC sinusoïdal pour  $\omega \gg \omega_c$

### Propriété E7.4 : BP de RC sur R

La bande passante du filtre RC sur R est

$$[\omega_c, +\infty] \Rightarrow \Delta\omega = +\infty$$

### ♥ Démonstration E7.4 : BP de RC sur R

$$\begin{aligned} G(x) &= H_0 \frac{x}{\sqrt{1 + x^2}} \geq G_{\text{eff}} = \frac{H_0}{\sqrt{2}} \\ \Leftrightarrow x\sqrt{2} &\geq \sqrt{1 + x^2} \Leftrightarrow 2x^2 \geq 1 + x^2 \Leftrightarrow [x \geq 1] \quad \blacksquare \end{aligned}$$

## III Résonance en tension, en élongation

### Exemple E7.4 : Résonances

Dans le cas des circuits d'ordre 1, on obtient un maximum d'amplitude pour  $\omega = 0$  ou  $\omega = +\infty$  : on a un simple amortissement ou passage des fréquences. Dans des cas plus compliqués, on va voir apparaître un **maximum d'amplitude à une fréquence finie** : c'est ce qu'on appelle la résonance. Quelques exemples :

▶ Résonance de diapasons

▶ Effondrement du pont TACOMA

▶ Visualisations détaillées

▶ Animation RLC

▶ Animation ressort

### Définition E7.3 : Résonance

Un oscillateur forcé présente une résonance si l'amplitude de ses oscillations est maximale pour une fréquence de forçage finie et non nulle, proche de sa fréquence propre.

La fréquence correspondante est appelée **fréquence de résonance**  $f_r$  (ou  $\omega_r$  ou  $x_r$ ).

Soit, pour une amplitude réelle  $S(\omega)$ ,

$$\exists \text{résonance} \Leftrightarrow \exists \omega_r \neq (0, +\infty) : S(\omega_r) = S_{\max}$$

### Interprétation E7.1 : Résonance

Le forçage apporte périodiquement de l'énergie à l'oscillateur, et à la résonance elle est toujours apportée « au bon moment » pour augmenter l'amplitude des oscillations, jusqu'à ce que des phénomènes dissipatifs ou des non-linéarités viennent la limiter.

## III/A Filtre RLC sur C : passe-bas d'ordre 2

### Définition E7.4 : RLC série sur C en RSF

On s'intéresse à la tension  $u_C(t)$  d'un circuit RLC série, alimenté par un GBF tel que :

$$e(t) = E_0 \cos(\omega t + \varphi_e) \quad \text{donc} \quad u_C(t) = U_C \cos(\omega t + \varphi_u) \quad \text{et} \quad i(t) = I \cos(\omega t + \varphi_i)$$

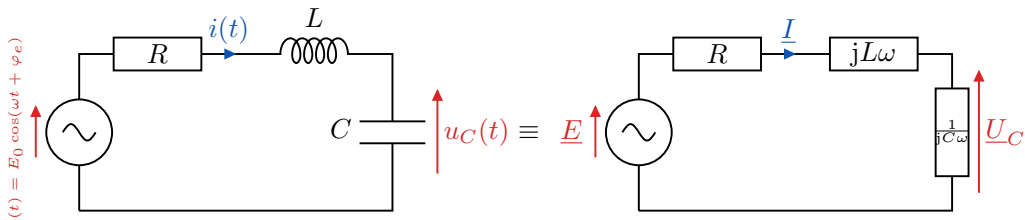


FIGURE E7.21 – RLC série sur C en RSF.

### ♥ Démonstration E7.5 : Filtre RLC sur C

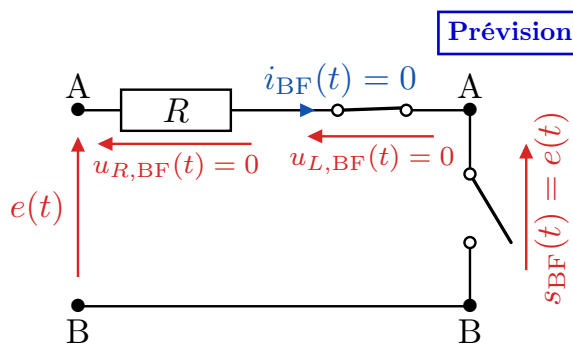


FIGURE E7.22 – RLC sur C en BF.

$$\text{Ainsi } \underline{H}(0) = 1 \Rightarrow \begin{cases} G(0) = 1 \\ \Delta\varphi_{s/e}(0) = 0 \end{cases}$$

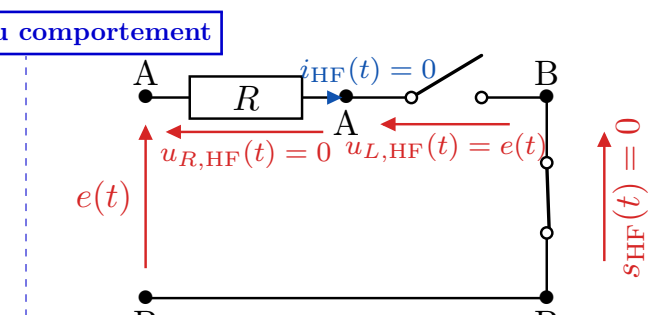


FIGURE E7.23 – RLC sur C en HF.

$$\text{Ainsi } \underline{H}(\omega) \xrightarrow{\omega \rightarrow \infty} 0 \Rightarrow \begin{cases} G(\omega) \xrightarrow{\omega \rightarrow \infty} 0 \\ \Delta\varphi_{s/e}(\omega) \xrightarrow{\omega \rightarrow \infty} ? \end{cases}$$

### Fonction de transfert

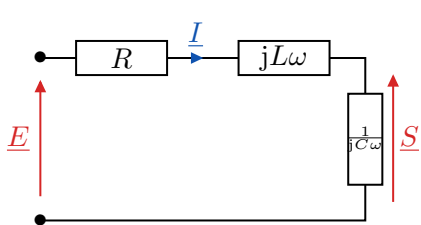


FIGURE E7.24 – RLC sur C en C.

$$\begin{aligned} \underline{S}(\omega) &= \frac{\underline{Z}_C}{R + \underline{Z}_L + \underline{Z}_C} \underline{E} \times \frac{\underline{Y}_C}{\underline{Y}_C} \\ \Leftrightarrow \underline{S}(\omega) &= \frac{1}{1 - LC\omega^2 + jRC\omega} \underline{E} \\ \Leftrightarrow \underline{H}(\omega) &= \frac{1}{1 - \left(\frac{\omega}{\omega_0}\right)^2 + j\frac{\omega}{Q\omega_0}} \end{aligned}$$

On identifie :

$$LC\omega^2 = \frac{\omega^2}{\omega_0^2} \Leftrightarrow \omega_0 = \frac{1}{\sqrt{LC}}$$

$$RC\omega = \frac{\omega}{Q\omega_0} \Leftrightarrow Q = \frac{1}{R} \sqrt{\frac{L}{C}}$$

**Module**

$$x = \frac{\omega}{\omega_0} \Rightarrow G(x) = |\underline{H}(x)| = \frac{1}{\sqrt{1-x^2 + j\frac{x}{Q}}} \\ \Leftrightarrow G(x) = \frac{1}{\sqrt{(1-x^2)^2 + \left(\frac{x}{Q}\right)^2}}$$

**Argument**

$$\arg(\underline{H}(x)) = -\arg\left(1-x^2 + j\frac{x}{Q}\right) = \arg\left(\left(1-x^2 - j\frac{x}{Q}\right) \frac{j}{j}\right) \\ \Leftrightarrow \Delta\varphi_{s/e}(x) = \arg\left(\frac{x}{Q} + j(1-x^2)\right) - \frac{\pi}{2} \\ \Leftrightarrow \Delta\varphi_{s/e}(x) = \arctan\left(\frac{Q(1-x^2)}{x}\right) - \frac{\pi}{2}$$

**Propriété E7.5 : Filtre RLC sur C**

Le filtre RLC sur C est un **passe-bas** d'ordre 2, dont la fonction de transfert s'écrit

$$\underline{H}(x) = \frac{H_0}{1-x^2 + j\frac{x}{Q}}$$

avec  $H_0 = 1$  et  $x = \frac{\omega}{\omega_0}$

$$\begin{cases} \omega_0 = \frac{1}{\sqrt{LC}} \\ Q = \frac{1}{R} \sqrt{\frac{L}{C}} \end{cases}$$

Ainsi

$$\begin{cases} G(x) = \frac{H_0}{\sqrt{(1-x^2)^2 + \left(\frac{x}{Q}\right)^2}} \\ \Delta\varphi_{s/e}(x) = \arctan\left(\frac{Q(1-x^2)}{x}\right) - \frac{\pi}{2} \end{cases} \Leftrightarrow \begin{cases} U_C(x) = E_0 G(x) \\ \varphi_u(x) = \varphi_e + \Delta\varphi_{s/e}(x) \end{cases}$$

**♥ Démonstration E7.6 : Résonance en tension RLC sur C****Comportement à  $x = 1 \Leftrightarrow \omega = \omega_0$** **Gain**

$$G(\omega_0) = \frac{H_0}{\sqrt{0 + \frac{1}{Q^2}}} \Leftrightarrow G(\omega_0) = QH_0$$

**Déphasage**

$$\Delta\varphi_{s/e}(\omega_0) = \arctan(0) - \frac{\pi}{2} \Leftrightarrow \Delta\varphi_{s/e}(\omega_0) = -\frac{\pi}{2}$$

**Condition de résonance**

On cherche le maximum de

$$G(x) = \frac{H_0}{\sqrt{(1-x^2)^2 + \frac{x^2}{Q^2}}}$$

Comme le **numérateur est constant**, cette fonction est maximale si le **dénominateur est minimal**. On cherche alors le minimum sur  $\mathbb{R}^{+*}$  de la fonction :

$$f : x \rightarrow (1-x^2)^2 + \frac{x^2}{Q^2}$$

Soit  $f'(x) = 2(-2x)(1-x^2) + \frac{2x}{Q^2}$  donc  $f'(x_r) = 0 \Leftrightarrow 2(2x_r)(1-x_r^2) = \frac{2x_r}{Q^2}$

$$x_r \neq 0 \Rightarrow 2(1-x_r^2) = \frac{1}{Q^2} \Leftrightarrow 1-x_r^2 = \frac{1}{2Q^2} \Leftrightarrow x_r^2 = 1 - \frac{1}{2Q^2}$$

or  $x_r^2 \geq 0 \Leftrightarrow Q \geq \frac{1}{\sqrt{2}}$  condition de résonance

Dans ce cas, on a donc :  $x_r = \sqrt{1 - \frac{1}{2Q^2}} < 1 \Leftrightarrow \omega_r = \omega_0 \sqrt{1 - \frac{1}{2Q^2}} < \omega_0$

**Amplitude à la résonance**

$$f(x_r) = \frac{1}{4Q^4} + \frac{1}{Q^2} \left(1 - \frac{1}{2Q^2}\right) \\ \Leftrightarrow f(x_r) = \frac{1}{Q^2} \left(1 + \frac{1}{4Q^2} - \frac{1}{2Q^2}\right) = \frac{1}{Q^2} \left(1 - \frac{1}{4Q^2}\right)$$

$$G(x_r) = \frac{H_0}{\sqrt{f(x_r)}}$$

$$\Leftrightarrow G(x_r) = \frac{QH_0}{\sqrt{1 - \frac{1}{4Q^2}}}$$

**Propriété E7.6 : Résonance en tension RLC sur C**

$\forall Q$  : À  $\omega_0$  on trouve

$$G(\omega_0) = QH_0 \quad \text{et} \quad \Delta\varphi_{s/e}(\omega_0) = -\frac{\pi}{2}$$

$Q \leq 1/\sqrt{2}$  : pas de résonance, l'amplitude est maximale pour

$$\omega_{\max} = 0 \quad \text{où} \quad \begin{cases} G(0) = H_0 \\ \Delta\varphi_{s/e}(0) = 0 \end{cases}$$

$Q > 1/\sqrt{2}$  : La résonance existe, l'amplitude est maximale pour

$$\omega_r = \omega_0 \sqrt{1 - \frac{1}{2Q^2}} < \omega_0 \quad \text{où} \quad G(\omega_r) = \frac{QH_0}{\sqrt{1 - \frac{1}{4Q^2}}} > H_0$$

$Q > 5$  :

$$\omega_r \approx \omega_0 \quad \text{où} \quad G(\omega_r) \approx QH_0 \quad \text{et} \quad \Delta\varphi_{s/e}(\omega_r) \approx -\frac{\pi}{2}$$

**Important E7.2 : À retenir pour  $U_C$  RLC série**

- ◊ Il y a une condition pour avoir résonance,  $Q > \frac{1}{\sqrt{2}}$ , elle s'obtient par étude de fonction ;
- ◊ La pulsation de résonance est différente de la pulsation propre mais s'en rapproche avec  $Q \nearrow$  ;
- ◊ L'amplitude maximale dépend de  $Q$  :  $Q \nearrow \Rightarrow U_{\max} \nearrow$  ;
- ◊ La phase à la résonance est quelconque ; la phase à la pulsation propre est  $\varphi_u(\omega_0) = -\frac{\pi}{2}$  ;

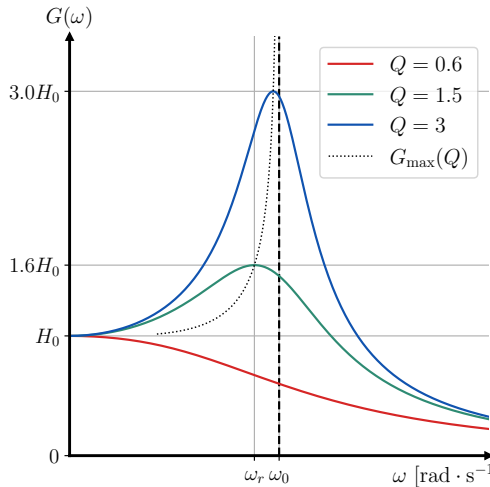


FIGURE E7.25 –  $G(\omega)$  selon  $Q$  pour RLC sur C.

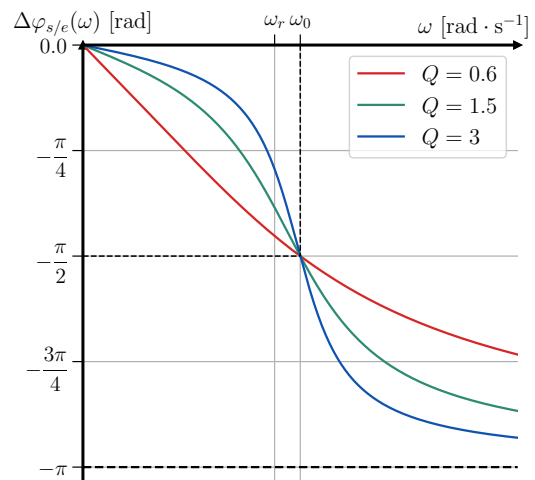


FIGURE E7.26 –  $\Delta\varphi_{s/e}(\omega)$  selon  $Q$  pour RLC sur C.

**III/B Exemple mécanique : résonance en élévation**
**♥ Définition E7.5 : Ressort amorti en RSF**

- ◊ **Système** : point {M} masse  $m$  dans  $\mathcal{R}_{\text{sol}}$  terrestre supposé galiléen ;
- ◊ **Repère et repérage** :  $(O, \vec{u}_x, \vec{u}_y)$ , et  $\vec{OM}(t) = x(t)\vec{u}_x$  ;  $\vec{v}(t) = \dot{x}(t)\vec{u}_x$  ;  $\vec{a}(t) = \ddot{x}(t)\vec{u}_x$
- ◊ **Longueur ressort** :  $\ell(t) = x_M(t) - x_O = x(t)$
- ◊ **Bilan des forces** :

**Poids**  $\vec{P} = m\vec{g} = -mg\vec{u}_y$

**Réaction**  $\vec{R} = R\vec{u}_y$

**HOOKE**  $\vec{F}_r = -k(x(t) - \ell_0)\vec{u}_x$

**Frotte<sup>±</sup>**  $\vec{F}_f = -\alpha\vec{v}(t) = -\alpha\dot{x}(t)\vec{u}_x$

**Forçage**  $\vec{f}_e = F_0 \cos(\omega t)\vec{u}_x$

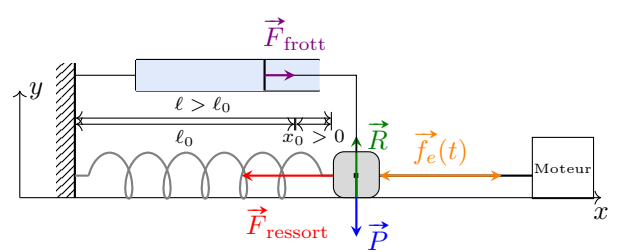


FIGURE E7.27 – Schéma du ressort en RSF.

### Notation E7.1 : pulsations réduites

◇ Chaque filtre a une **pulsation de référence**, différente selon son ordre, mais la notion reste la même :

$$x = \frac{\omega}{\omega_{\text{ref}}} \quad \text{avec} \quad \omega_{\text{ref}} = \omega_c \text{ ordre 1} \quad \text{ou} \quad \omega_{\text{ref}} = \omega_0 \text{ ordre 2}$$

◇ Il peut arriver très vite de confondre  $x(t)$  la position et  $x = \omega/\omega_0$  la pulsation réduite, d'où la notation proposée de  $u = \omega/\omega_0$ , à ne pas confondre avec la tension. Soyez vigilant-es.

### Application E7.1 : Amplitude complexe $\underline{X}$

Avec le PFD :

$$m\vec{a} = \vec{P} + \vec{R} + \vec{F}_{\text{ressort}} + \vec{F}_{\text{frrott}} + \vec{f}_e$$

$$\Leftrightarrow m\ddot{x}(t)\vec{u}_x = (-k(x(t) - \ell_0) - \alpha\dot{x}(t) + F_0 \cos(\omega t))\vec{u}_x + (R - mg)\vec{u}_y$$

La projection sur  $\vec{u}_y$  montre que  $\vec{R} = -\vec{P}$ . Sur l'axe  $\vec{u}_x$ , on trouve

$$m\ddot{x}(t) + \alpha\dot{x}(t) + kx(t) = k\ell_0 + F_0 \cos(\omega t) \Leftrightarrow \ddot{x}_h(t) + \frac{\omega_0}{Q}\dot{x}_h(t) + \omega_0^2 x_h(t) = \frac{F_0}{m} \cos(\omega t)$$

avec  $x_h(t) = x(t) - \ell_0$  et  $\omega_0 = \sqrt{\frac{k}{m}}$  et  $\frac{\omega_0}{Q} = \frac{\alpha}{m} \Leftrightarrow Q = \frac{\sqrt{km}}{\alpha}$

Soit  $x_h(t) = X \cos(\omega t + \varphi_x) \Leftrightarrow \underline{x}_h(t) = \underline{X} e^{j\omega t}$  :

$$\begin{aligned} & \left( (j\omega)^2 + \frac{\omega_0}{Q} j\omega + \omega_0^2 \right) \underline{X} = \frac{F_0}{m} \\ \Leftrightarrow & \left( -\left(\frac{\omega}{\omega_0}\right)^2 + j\frac{\omega}{\omega_0 Q} + 1 \right) \underline{X} = \frac{F_0}{\omega_0^2 m} \\ \Leftrightarrow & \underline{X}(u) = \frac{F_0/k}{1 - u^2 + j\frac{u}{Q}} \\ \Leftrightarrow & \underline{H}(u) = \frac{H_0}{1 - u^2 + j\frac{u}{Q}} \end{aligned}$$

)  $\frac{\underline{X}}{F_0/k} = \frac{H_0}{1 - u^2 + j\frac{u}{Q}}$  ■

### Implication E7.1 : Résonance en élongation

On retrouve donc la **même réponse** que pour la tension de  $C$  dans le RLC série, et donc les **mêmes conditions et comportements**, cf. Propriété 7.6.

### Attention E7.1 : Maxima d'un rapport

Dans ces cas simples, on trouve une expression du gain de numérateur constant, donc on se limite à chercher le minimum du dénominateur. Pour des expressions plus complexes, il faut **se ramener à un numérateur constant en divisant par le numérateur**.

## IV Résonance en intensité, en vitesse

### IV/A Filtre RLC sur R : passe-bande d'ordre 2

#### Définition E7.6 : RLC série sur R en RSF

Pour étudier l'intensité dans un circuit RLC série alimenté par un GBF, on s'intéresse à la tension  $u_R(t)$  :  $e(t) = E_0 \cos(\omega t + \varphi_e)$  donc  $u_R(t) = U_R \cos(\omega t + \varphi) = R i(t)$  soit  $i(t) = I \cos(\omega t + \varphi)$  avec  $I = \frac{U_R}{R}$

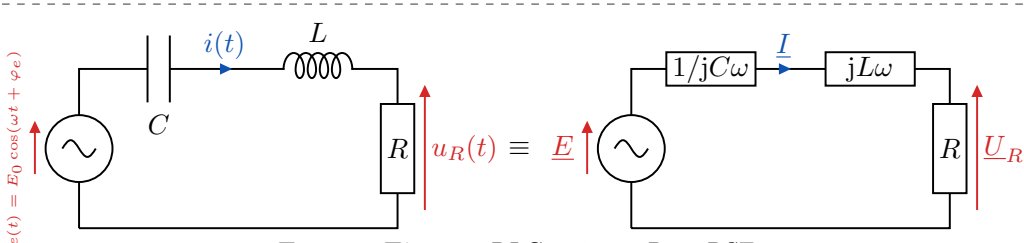


FIGURE E7.28 – RLC série sur R en RSF.

### ♥ Démonstration E7.7 : Filtre RLC sur R

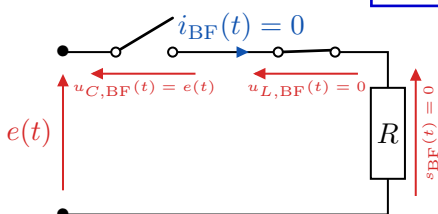


FIGURE E7.29 – RLC sur R en BF.

Ainsi  $\underline{H}(0) = 0 \Rightarrow \begin{cases} G(0) = 0 \\ \Delta\varphi_{s/e}(0) = ? \end{cases}$

### Prévision du comportement

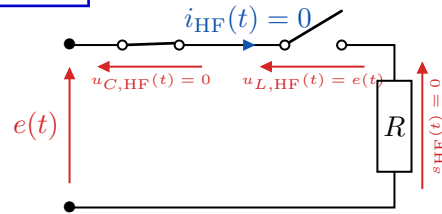


FIGURE E7.30 – RLC sur R en HF.

Ainsi  $\underline{H}(\omega) \xrightarrow{\omega \rightarrow \infty} 0 \Rightarrow \begin{cases} G(\omega) \xrightarrow{\omega \rightarrow \infty} 0 \\ \Delta\varphi_{s/e}(\omega) \xrightarrow{\omega \rightarrow \infty} ? \end{cases}$

### Fonction de transfert

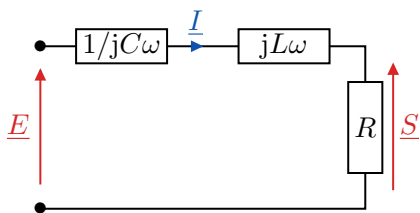


FIGURE E7.31 – RLC sur R en C.

On identifie alors :

$$\begin{aligned} \frac{L}{R} &= \frac{Q}{\omega_0} \quad \text{et} \quad \frac{1}{RC} = Q\omega_0 \\ \Leftrightarrow \frac{1}{\frac{L}{R}} &= \frac{Q\omega_0}{\frac{Q}{\omega_0}} \Leftrightarrow \omega_0^2 = \frac{1}{LC} \quad \text{et} \quad \frac{L}{R} \times \frac{1}{RC} = Q^2 \Leftrightarrow Q^2 = \frac{1}{R^2} \frac{L}{C} \\ \Leftrightarrow \omega_0 &= \frac{1}{\sqrt{LC}} \quad \text{et} \quad Q = \frac{1}{R} \sqrt{\frac{L}{C}} \end{aligned}$$

### Module

$$\begin{aligned} x = \frac{\omega}{\omega_0} \Rightarrow G(x) &= |\underline{H}(x)| = \frac{1}{\left|1 + jQ\left(x - \frac{1}{x}\right)\right|} \\ \Leftrightarrow G(x) &= \frac{1}{\sqrt{1 + Q^2\left(x - \frac{1}{x}\right)^2}} \quad \blacksquare \end{aligned}$$

### Argument

$$\begin{aligned} \arg(\underline{H}(x)) &= -\arg\left(\frac{1}{1 + jQ\left(x - \frac{1}{x}\right)}\right) \quad \text{Re} > 0 \\ \Leftrightarrow \Delta\varphi_{s/e}(x) &= -\arctan\left(Q\left(x - \frac{1}{x}\right)\right) \quad \blacksquare \end{aligned}$$

### Propriété E7.7 : Filtre RLC sur R

Le filtre RLC sur R est un **passe-bande** d'ordre 2, dont la fonction de transfert s'écrit

$$\underline{H}(x) = \frac{H_0}{1 + jQ\left(x - \frac{1}{x}\right)} \quad \text{avec} \quad H_0 = 1 \quad \text{et} \quad x = \frac{\omega}{\omega_0} \quad \text{où} \quad \begin{cases} \omega_0 = \frac{1}{\sqrt{LC}} \\ Q = \frac{1}{R} \sqrt{\frac{L}{C}} \end{cases}$$

Ainsi  $\begin{cases} G(x) = \frac{H_0}{\sqrt{1 + Q^2\left(x - \frac{1}{x}\right)^2}} \\ \Delta\varphi_{s/e}(x) = -\arctan\left(Q\left(x - \frac{1}{x}\right)\right) \end{cases} \Leftrightarrow \begin{cases} I(x) = \frac{E_0}{R} G(x) \\ \varphi(x) = \varphi_e + \Delta\varphi_{s/e}(x) \end{cases}$

### ♥ Démonstration E7.8 : Résonance en intensité RLC sur R

#### Comportement à $x = 1 \Leftrightarrow \omega = \omega_0$

##### Gain

$$G(\omega_0) = \frac{H_0}{\sqrt{1 + Q^2(1 - 1)^2}} \Leftrightarrow [G(\omega_0) = H_0]$$

##### Déphasage

$$\Delta\varphi_{s/e}(\omega_0) = -\arctan(Q(1 - 1)) \Leftrightarrow [\Delta\varphi_{s/e}(\omega_0) = 0]$$

### Condition de résonance

On cherche le maximum de

$$G(x) = \frac{H_0}{\sqrt{1 + Q^2 \left(x - \frac{1}{x}\right)^2}}$$

de numérateur constant

donc maximal si le **dénominateur est minimal**. On cherche alors le minimum sur  $\mathbb{R}^{+*}$  de la fonction :

$$f : x \rightarrow 1 + Q^2 \left(x - \frac{1}{x}\right)^2 \quad \text{or} \quad \left(x - \frac{1}{x}\right)^2 \geq 0 \quad \text{donc} \quad x_r - \frac{1}{x_r} = 0 \Leftrightarrow x_r = \frac{1}{x_r}$$

Ainsi

$$x_r = 1 \Leftrightarrow \omega_r = \omega_0$$

### Propriété E7.8 : Résonance en intensité RLC sur R

La résonance en intensité existe donc toujours, pour tout  $Q$ , et la pulsation de résonance est confondue avec la pulsation propre de l'oscillateur, soit :  $\omega_r = \omega_0 \Leftrightarrow x_r = 1$

#### Amplitude à la résonance

$$I(x_r) = I_{\max} = \frac{E_0}{R}$$

#### Phase à la résonance

$$\varphi_i(x_r) = 0$$

### Important E7.3 : À retenir pour 1 RLC série

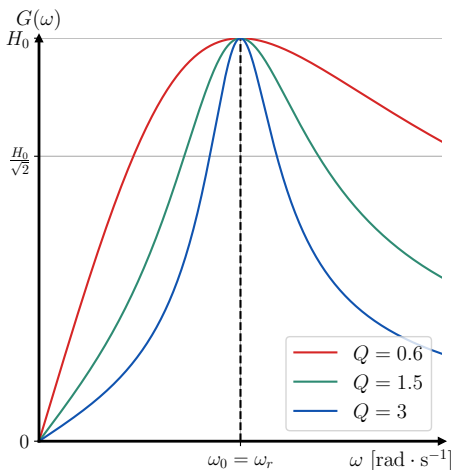


FIGURE E7.32 –  $G(\omega)$  selon  $Q$  pour RLC sur R.

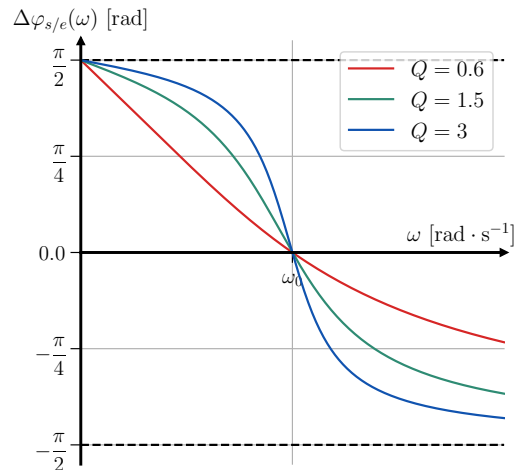


FIGURE E7.33 –  $\Delta\varphi_{s/e}(\omega)$  selon  $Q$  pour RLC sur R.

- ◊ Il n'y a **aucune condition** pour avoir résonance : celle-ci existe peu importe le facteur de qualité ;
- ◊ La **pulsation de résonance** est **égale à la pulsation propre** ;
- ◊ L'**amplitude maximale** ne dépend pas de  $Q$  ;
- ◊ La **phase à la résonance** est nulle.

### ♥ Démonstration E7.9 : Bande passante en intensité

On cherche les pulsations de coupure réduites telles que  $G(x_k) = G_{\text{eff}} = \frac{G_{\max}}{\sqrt{2}}$  :

$$\begin{aligned} G(x_k) &= \frac{G_{\max}}{\sqrt{2}} \\ \Leftrightarrow \frac{H_0}{\sqrt{1 + Q^2 \left(x_k - \frac{1}{x_k}\right)^2}} &= \frac{H_0}{\sqrt{2}} \\ \Leftrightarrow Q^2 \left(x_k - \frac{1}{x_k}\right)^2 &= 1 \end{aligned}$$

On remplace  
On isole

$$\begin{aligned} \sqrt{\cdot} &\Leftrightarrow Q \left(x_k - \frac{1}{x_k}\right) = \pm 1 \\ &\Leftrightarrow Qx_k^2 - Q = \pm x_k \\ &\Leftrightarrow Qx_k^2 \mp x_k - Q = 0 \end{aligned}$$

$\times x_k$   
 $- \pm = \mp$

On a alors **deux trinômes**, soit **quatre racines possibles**.

$$\Rightarrow \Delta = 1 + 4Q^2$$

$$\Rightarrow x_{k,\pm,\pm} = \frac{\pm 1 \pm \sqrt{1 + 4Q^2}}{2Q} \quad \left. \begin{array}{l} \text{Solutions} \\ \hline \end{array} \right)$$

On ne garde que les racines positives, sachant que  $\sqrt{1 + 4Q^2} > 1$  :

$$x_1 = x_{k,-,+} = \frac{1}{2Q} \left( -1 + \sqrt{1 + 4Q^2} \right) \quad \text{et} \quad x_2 = x_{k,+,+} = \frac{1}{2Q} \left( 1 + \sqrt{1 + 4Q^2} \right)$$

puis on obtient la largeur de la bande passante en calculant la différence  $|x_2 - x_1|$  :

$$x_2 - x_1 = \frac{1 + \sqrt{1 + 4Q^2} - \left( -1 + \sqrt{1 + 4Q^2} \right)}{2Q} \Leftrightarrow \boxed{\Delta x = \frac{1}{Q} \Leftrightarrow \Delta \omega = \frac{\omega_0}{Q}}$$

■

### Propriété E7.9 : Bande passante en intensité

Plus le facteur de qualité est grand, plus la résonance est sélective. On relie la largeur de la bande passante à la pulsation propre et au facteur de qualité *via* la relation :

$$\boxed{\Delta \omega = \frac{\omega_0}{Q} \Leftrightarrow Q = \frac{\omega_0}{\Delta \omega} = A_c}$$

Ainsi, le **facteur de qualité** est égal à l'**acuité de la résonance** pour le filtre RLC série sur R.

## IV/B Résonance en vitesse

### Application E7.2 : Amplitude complexe $\underline{V}$

$$\begin{aligned} v(t) = \frac{dx}{dt} \Big|_t &\Leftrightarrow \underline{V} = j\omega \underline{X} \\ &\Leftrightarrow \underline{V} = \frac{F_0}{k} \frac{j\omega}{1 - u^2 + j\frac{u}{Q}} \\ &\Leftrightarrow \underline{V} = -\frac{F_0}{k} \frac{u\omega_0}{j - ju^2 - \frac{u}{Q}} \\ &\Leftrightarrow \underline{V} = \frac{F_0}{k} \cdot \frac{u}{\frac{1}{Q} - j(\frac{1}{u} - 1)} \end{aligned}$$

$$\begin{aligned} &\times \frac{Q}{Q} \Leftrightarrow \underline{V} = \frac{F_0}{k} \cdot \frac{Q\omega_0}{1 + jQ(u - \frac{1}{u})} \\ &\Leftrightarrow \underline{V}(u) = \frac{F_0/\alpha}{1 + jQ\left(u - \frac{1}{u}\right)} \\ &\Leftrightarrow \boxed{\underline{H}(u) = \frac{H_0}{1 + jQ\left(u - \frac{1}{u}\right)}} \end{aligned}$$

$$\left. \begin{array}{l} \frac{Q\omega_0}{k} = \frac{1}{\alpha} \\ \underline{H} = \frac{\underline{V}}{F_0/\alpha} \end{array} \right. \quad \boxed{\underline{H} = \frac{\underline{V}}{F_0/\alpha}}$$

■

### Implication E7.2 : Résonance en vitesse

La résonance en vitesse existe donc toujours, pour tout  $Q$ , et la pulsation de résonance est confondue avec la pulsation propre de l'oscillateur, soit :  $\omega_r = \omega_0 \Leftrightarrow u_r = 1$

#### Amplitude à la résonance

$$\boxed{V(x_r) = V_{\max} = \frac{F_0}{\alpha}}$$

#### Phase à la résonance

$$\boxed{\varphi(x_r) = 0}$$


**Important E7.4 : Synthèse résonances**

Grandeur	Tension/élongation	Intensité/vitesse
<b>Existence</b>	$Q > 1/\sqrt{2}$	Toujours
<b>Pulsation de résonance</b>	$\omega_r \lesssim \omega_0$	$\omega_0$
<b>Largeur de résonance</b>	$\Delta\omega \approx \frac{\omega_0}{Q}$	$\Delta\omega = \frac{\omega_0}{Q}$
<b>Aspects à <math>\omega_0</math></b>	$G(\omega_0) = QH_0$ $\Delta\varphi_{s/e}(\omega_0) = -\frac{\pi}{2}$	$G(\omega_0) = G_{\max} = H_0$ $\Delta\varphi_{s/e}(\omega_0) = 0$
<b>Aspects à <math>\omega_r</math></b>	$G(\omega_r) = G_{\max}$ $\Delta\varphi_{s/e}(\omega_r)$ quelconque	Idem, $\omega_r = \omega_0$
<b>Courbes d'amplitude</b>		
<b>Courbes de phase</b>		